

# ساخت سویه بیانی پیکیا پاستوریس مولد قطعه‌ی تک زنجیره‌ای ناحیه‌ی متغیر آنتی‌بادی علیه ناحیه خارج سلولی EpCAM

فاطمه محمدقلیزاد (Ph.D Student)، عطیه هاشمی\*

\*بخش بیوتکنولوژی دارویی، دانشکده داروسازی، دانشگاه علوم پزشکی شهید بهشتی، تهران، ایران

تاریخ دریافت: ۱۳۹۷/۶/۱۱ تاریخ پذیرش: ۱۳۹۷/۱۲/۱۳

at\_hashemi@sbmu.ac.ir

۰۲۱-۸۸۲۰۰۶۷

## چکیده

هدف: مولکول چسباننده سلول‌های اپیتلیال (EpCAM) در سطح سلول‌های توموری اپیتلیال به طور فزاینده‌ای بیان می‌شود. بنابراین EpCAM یک آنتی‌زن با ارزش در درمان هدفمند محسوب می‌شود. استفاده از آنتی‌بادی‌های منوکلونال رویکردی جذاب در درمان هدفمند سرطان است. محدودیت‌های آنتی‌بادی‌های منوکلونال نظیر اندازه‌ی بزرگ منجر به توسعه قطعات تک‌زن‌جیره‌ای ناحیه‌ی متغیر آنتی‌بادی (scfv) شد. پیکیا پاستوریس به علت انجام فرایندهای پس از ترجمه و قیمت ارزان به عنوان میزبانی مناسب در بیان پروتئین‌های نوترکیب در مقیاس بالا مورد توجه است. در این مطالعه، پیکیا پاستوریس بیان‌کننده scfv علیه قسمت خارج سلولی EpCAM (EpEX) ساخته شد.

مواد و روش‌ها: زن بهینه شده‌ی کدونی مولد پروتئین anti-EpEX-scfv در سایت‌های آنزیمی *XbaI* و *XhoI* و کتور pPICZαB وارد شد. صحت سازه نوترکیب به کمک توالی‌بایی و آنالیز آنزیمی تأیید شد. سازه نوترکیب با کمک الکتروپوراسیون در سویه GS115 وارد شد. کلون‌های مثبت با کمک PCR و با به کارگیری سه جفت پرایمر ارزیابی شدند.

یافته‌ها: صحت سازه نوترکیب با استفاده از آنزیم‌های *BamHI* و *HindIII* (باندهای ۲۷۸۸ و ۱۵۳۷ جفت باز) همچنین *XbaI* و *XhoI* (باندهای ۳۵۰۶ و ۸۱۹ جفت باز) تأیید شد. کلون‌های نوترکیب با کمک PCR با مشاهده دو باند (۲۲۰۰ و ۱۳۲۱ جفت باز) زمانی که دو پرایمر AOX استفاده شد، همچنین یک باند (۹۶۸ جفت باز) زمانی که پرایمر AOX و پرایمر اختصاصی زن استفاده شد، تأیید شد. هنگامی که دو پرایمر اختصاصی زن به کار گرفته شد، یک باند (۷۵۱ جفت باز) مشاهده شد.

نتیجه‌گیری: این یافته‌ها ساخت سویه مهندسی شده را تأیید می‌کند. پروتئین anti-EpEX-scfv می‌تواند انتخابی مناسب در زمینه‌ی ایمنی درمانی سرطان باشد.

واژه‌های کلیدی: پیکیا پاستوریس، anti-EpEX-scfv، آنتی‌بادی منوکلونال، EpCAM، ایمنی درمانی سرطان

## مقدمه

آن و عوارض جانبی پایین‌تر آن اشاره کرد. امروزه آنتی‌بادی‌هایی با ساختار کامل به دلیل معابی چون ماندگاری بالا در بافت غیر هدف، سیتوتوکسیسیته‌ی بالا به علت کلیرانس پایین، سایز بزرگ و عدم دسترسی به اپی‌توبهای پنهان با قطعات نوترکیب آنتی‌بادی‌های منوکلونال نظیر قطعه‌ی تک‌زن‌جیره‌ای ناحیه‌ی متغیر آنتی‌بادی (scfv) جایگزین شده‌اند. این ترکیبات به دلیل عملکرد اختصاصی و میل اتصال بالا جایگزین‌های مناسبی برای آنتی‌بادی‌هایی با ساختار کامل به نظر می‌رسند. scfv از بخش‌های متغیر (VI, Vh) تشکیل شده است که با یک اتصال‌دهنده‌ی پیتیدی در کنار هم قرار گرفته‌اند [۴]. در خیلی از موارد scfv به دلیل سایز کوچک و کلیرانس بالا از خون و نفوذ به سلول‌های توموری به تهایی به عنوان عامل هدفمندسازی به کار می‌رود [۵]. از آنجائی که بیان EpCAM در گروهی از سرطان‌ها در مقایسه با سلول‌های طبیعی افزایش می‌یابد، لذا امروزه انواع

مولکول چسباننده سلول‌های اپیتلیال (EpCAM) یک گلیکوپروتئین ترااغشاپی تیپ یک به وزن ۳۹–۴۲ کیلو‌داننون می‌باشد که در سطح سلول‌های اپیتلیال به جز هپاتوسيت‌ها و کراتینوسيت‌ها بیان می‌شود [۱] و منجر به اتصالات هموفیلیکی سلول به سلول غیر وابسته به کلسیم می‌شود [۲]. EpCAM به لحاظ ساختاری شامل یک دومین خارج سلولی (EpEX)، یک دومین بین غشایی و نیز یک دومین داخل سلول (EpICD) می‌باشد [۳].

در سال‌های اخیر درمان سرطان از حالت مرسوم و رایج که با داروهایی با خاصیت سلول‌کشی که به طور غیر اختصاصی سلول‌های عادی را نیز درگیر می‌کرد به سمت درمان هدفمند پیش رفته است. از مزایای این درمان هدفمند می‌توان به مؤثرتر بودن

پروموتور القایی AOX1 پیکیا پاستوریس است از بانک ژن انسنتیپاستور ایران تهیه شد. *E. coli* DH5-*a* در محیط کشت (Luria Bertani LB) (حاوی تریپتون ۱ درصد وزن-حجمی و عصاره مخمر ۵/۰ درصد و سدیم کلراید ۱ درصد و PH برابر با ۷ در دمای ۳۷ درجه سانتی گراد کشت داده شد. و نیز محیط کشت LB با درصد نمک پایین (حاوی تریپتون ۱ درصد وزن-حجمی و عصاره مخمر ۵/۰ درصد و سدیم کلراید ۵/۰ درصد و PH برابر با ۷/۵) برای کشت انتخابی سویه های ترانسفورم شده مقاوم به زئوسین استفاده شد. بهمنظور جداسازی های ترانسفورم حاوی وکتور بیانی از آنتی بیوتیک زئوسین ۲۵ $\mu$ g/ml و آمبی سیلین ۱۰۰ $\mu$ g/ml در محیط کشت LB استفاده شد. سویه مخمر پیکیا پاستوریس در محیط YPD (حاوی ۱ درصد وزن-حجمی عصاره مخمر و ۲ درصد پیپتون و ۲ درصد دکستروز) کشت داده شد. در حالی که محیط کشت YPDS علاوه بر مقادیر ذکر شده حاوی سوربیتول ۱ مولار نیز بود. پلیت حاوی YPD آگار برای رشد پیکیا پاستوریس سویه GS115 و پلیت YPD آگار حاوی زئوسین (غلاظت ۲۰۰ $\mu$ g/ml یا هر غلاظت دلخواه دیگری) در انتخاب سویه های ترانسفورم شده پیکیا پاستوریس بدکار گرفته شد.

**pPICZαB-anti EpEX-scfv**

ساخت سازه بیانی آنتی بیوتیک pPICZαB-anti EpEX-scfv بهمنظور بیان کامل انتهای آمنی anti EpEX-scfv در طراحی سازه مربوطه، ژن مولد این پروتئین بلا فاصله پس از سایت برشی Kex2 قرار داده شد. همچنین یک قطعه ژنی مولد دنباله ای شش هیستیدینی در انتهای کربوکسیلیک ژن مورد نظر در جهت تسهیل در فرایند خالص سازی قرار داده شد [۱۱]. ژن مولد anti EpEX-scfv پس از بهینه سازی کدونی توسط شرکت سنتر شد. بهمنظور آماده سازی کاست بیانی، قطعه سنتر شده ژنی مولد anti EpEX-scfv از وکتور کلونینگ حد واسط به نام XbaI, XbaI-anti EpEX-scfv توسط دو آنزیم pGH-anti EpEX-scfv شد و ژن مولد anti EpEX-scfv در وکتور pPICZαB طوری قرار گرفت تا پروموتور AOX1 در قسمت بالا دست ژن مورد نظر قرار گیرد. سازه نهایی بیانی، نام گرفت و به داخل سلول های باکتریایی مستعد-*E. coli* DH5-*a* ترانسفورم شد. سپس سویه های ترانسفورم شده حامل pPICZαB-anti EpEX-scfv در محیط کشت LB با غلاظت نمک پایین و غلاظت زئوسین برابر با ۲۵ $\mu$ g/mL انتخاب شدند. بهمنظور تأیید حضور ژن مولد این پروتئین در سازه بیانی آنتی بیوتیک pPICZαB-anti EpEX-scfv وکتور نوترکیب با دو جفت آنزیم (BamHI و HindIII) همچنین (XbaI و XbaI) برش داده شد. همچنین صحت وکتور نوترکیب به کمک توالی بیانی مورد تأیید قرار گرفت. روش عمومی دست کاری ژنتیکی بر اساس

ایونوتراپی با هدف قرار دادن EpCAM در تشخیص و درمان مورد توجه قرار گرفته است [۶]. به منظور بیان آنتی بادی های نوترکیب تاکنون شماری از سیستم های بیانی نظری سلول های پروکاریوتی و بیکاریوتی به کار برده شده اند. امروزه غالب آنتی بادی های درمانی برای انسان به کمک رده های سلولی پستانداران ساخته می شوند [۷]. این در حالی است که تولید آنتی بادی در این دسته از سلول ها یک فرایند وقت گیر و گران قیمت محسوب می شود. در این موارد مخمرها به عنوان سیستم های بیانی بیکاریوتی گزینه های مناسبی به نظر می رسدند. چرا که این بیکاریوت ها برخلاف سیستم های بیانی باکتریایی، علاوه بر گلیکوزیل اسیون و تسهیل انجام بسیاری از تغییرات پس از ترجمه معمول دیگر نظری تاخو ردگی صحیح، تشكیل پیوندهای دی سولفیدی، پردازش توالی سیگنالی و نیز پردازش پروتولیتیک قادرند در محیط کشت ارزان خیلی سریع رشد کنند [۸]. امروزه محققین در مطالعات متعددی مخمرها از جمله پیکیا (Pichia pastoris) را به عنوان سیستم بیانی جایگزین در تولید قطعات آنتی بادی های منوکلونال ارزیابی کرده اند [۹]. این میزبان بیکاریوتی دارای سیستم بیانی کارایی است که دارای محیط کشت مشخص با هزینه های تولیدی پایین می باشد. علاوه بر آن به آلدگی محیط و استرس های وارد حین تولید نیز حساس نمی باشد [۱۰]. در این مطالعه با توجه به کاربردهای متعدد قطعه تک زنجیره ای ناحیه متغیر آنتی بادی علیه EpEX در تشخیص و درمان و به منظور دستیابی به مقادیر بالایی از پروتئین با حلالیت و فعالیت بیولوژیکی مناسب در پیکیا پاستوریس، برای نخستین بار حامل بیانی نوترکیب حاوی ژن مولد scfv مشتق شده از کلون D5MOCB4 علیه EpEX ساخته شد. همچنین سویه های ترانسفورم شده پیکیا پاستوریس (GS115) با این سازه ایجاد شد.

## مواد و روش ها

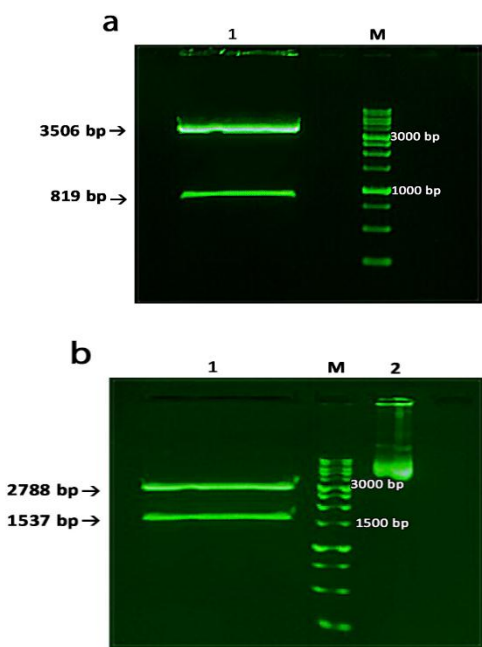
در این مطالعه آنزیمه های محدود کننده و لیگاز از Thermo Fisher، کیت استخراج پلاسمید GF-PL-050 از شرکت vivantis، کیت خالص سازی پلاسمید high pure PCR product از شرکت Roche، آنتی بیوتیک Zeocine purification kit از شرکت Invitrogen و Ampliqon از PCR product (master mix) DNA ladder از شرکت سیناکلون خریداری شد. سویه های میکروبی، پلاسمیدها و محیط کشت *E. coli* DH5-*a* (اهدایی دکتر کرامتی) به عنوان میزبان برای دست کاری و پیکیا پاستوریس سویه GS115 با فنوتیپ Mut Mثبت برای مطالعات بیانی انتخاب شدند. وکتور pPICZαB که دارای

اختصاصی ژن AOX1 به کار گرفته شد. در قام واکنش‌ها از سویی GS115 ترانسفورم شده با پلاسمید pPICZαB به عنوان کنترل منفی استفاده شد. به این گونه که در ۳۰ سیکل که هر سیکل شامل مراحل ۹۵ درجه برای ۵ دقیقه و ۵۱ درجه برای ۱ دقیقه و ۷۲ درجه برای ۱ دقیقه انجام شد.

## نتایج

### pPICZαB-anti EpEX-scfv

پس از ترانسفورم کردن سلول‌های مستعد DH5- $\alpha$  با محصول الحاق یا لیگاسیون pGH-anti EpEX-scfv و pPICZαB هضم آنزیمی شده با استفاده از دو آنزیم *XbaI* و *XhoI* و انجام کشت پلیت ۹ خانه از تک کلون‌های حاصل، محتوای پلاسمید تک کلون‌ها استخراج گردید. به منظور تأیید تشکیل پلاسمید نوترکیب، محصول استخراج با دو جفت آنزیم (*BamHI* و *HindIII*) هم‌چنین جفت آنزیم (*XbaI* و *XhoI*) مورد هضم آنزیمی قرار گرفت. مشاهده دو قطعه به اندازه‌های ۲۷۸۸ و ۱۵۳۷ جفت باز در هضم توسط توسط *BamHI-HindIII* و مشاهده قطعاتی به طول ۳۵۰۶ و ۸۱۹ جفت باز در هضم توسط توسط جفت آنزیم *XbaI* و *XhoI* تأییدکننده تشکیل پلاسمید نوترکیب pPICZαB-anti EpEX-scfv است (شکل ۱).



شکل ۱- تأیید ساخت سازه نوترکیب pPICZαB-anti EpEX-scfv به روش هضم آنزیمی. (a) مشاهده قطعاتی به طول ۳۵۰۶ و ۸۱۹ جفت باز در ستون ۱ ژل الکتروفورز ناشی از هضم آنزیمی توسط جفت آنزیم *XbaI* و *XhoI* همچنین (b) مشاهده دو نوار ۲۷۸۸ و ۱۵۳۷ جفت باز در ستون ۱ ژل الکتروفورز ناشی از هضم آنزیمی توسط جفت آنزیم *BamHI-HindIII* تأیید کننده صحت ساخت سازه نوترکیب می‌باشد. ستون M لدر اکیلو جفت باز و نمونه هضم آنزیمی نشده در ستون ۲ مشاهده می‌شوند.

تعیین توالی پلاسمید نوترکیب با استفاده از پرایمیرهای AOX-1 promoter و AOX-2 promoter نشان‌دهنده‌ی صحت سازه

روش‌های استاندارد انجام شد. آنزیم‌های محدودالاثر و لیگاز از شرک Thermo Fisher Scientific (USA) تهیه شدند. ترکیبات شیمیایی از منابع شیمیایی استاندارد نظریر سیگما و مرک تهیه شدند.

ترانسفورماسیون پیکیا پاستوریس و انتخاب کلونی‌های نوترکیب. وکتور خطی شده pPICZαB-scfv توسط آنزیم *SacI* برای ترانسفورم کردن پیکیا پاستوریس سویی مستعد GS115 طبق پروتکل استفاده شد. بدین ترتیب که سویی مستعد، با رشد GS115 در محیط YPD مایع و شست و شو با آب سرد و سوربیتول حاصل شد. ۵ میکروگرم از وکتور خطی شده pPICZαB-scfv و نیز وکتور مادر که فقط شامل pPICZαB می‌باشد (به عنوان کنترل منفی) با ۸۰ میکرولیتر سلول‌های مستعد شده، مخلوط شد. سپس جهت الکتروپوراسیون Pulser Xcell (BioRad, Germany) با تنظیمات ۱۵۰۰ ولت و ظرفیت ۲۵ میکروفاراد و مقاومت ۲۰۰ اهم استفاده شد. سپس سویه‌های ترانسفورم شده به مدت ۲-۳ روز در دمای ۳۰ درجه سانتی‌گراد در محیط کشت غلاظت زئوسین YPD با ۲۰۰ µg/ml انکوبه شد که پس از طی این مدت کلونی‌های ترانسفورم شده ظاهر شدند.

استخراج ژنوم مخمر. به منظور استخراج ژنوم مخمر از روش لیتیم استات-سدیم دو دسیل سولفات (LiOAc-SDS) استفاده شد [۱۲]. بدین ترتیب که تک کلون ایجاد شده روی پلیت در ۱۰۰ µL محلول حاوی لیتیم استات ۲۰۰ mM و SDS یک درصد وارد شد. پس از ۵ min در دمای ۷۰ درجه سانتی‌گراد، ۳۰ µL ۱۰۰-۹۶ اتانول پلت همراه با ژنوم به کمک سانتریفوژ رسوب داده شد و با اتانول ۷۰ درصد شستشو داده شد. در نهایت پلت در ۱۰۰ µL آب حل شد و پس از سانتریفیوژ ۱ از بخش سوپرنا坦ت برای PCR بدکار گرفته شد.

آنالیز سویه‌های ترانسفورم شده پیکیا پاستوریس توسط PCR به منظور آنالیز حضور سازه ژنی pPICZαB-anti EpEX-scfv در کلونی‌های مقاوم به زئوسین از روش PCR استفاده شد. فرایند PCR با استفاده از سه جفت پرایمیر انجام شد. در واکنش اول از دو پرایمیر ریورس و فوروارد اختصاصی قطعه‌ی ژنی مولد ۵- scfv (GATGATGATGTGAGGAAAC-3 R: 5- GATATTCAAATGACCCAATCT-3) استفاده شد.

واکنش دوم با استفاده از دو پرایمیر ریورس و فوروارد اختصاصی ژن AOX1 (F: AOX1-5-GACTGGTTCCAATTGACAAGC-R: F: AOX1-5-GCAAATGGCATTCTGACATCC-3) و (F: AOX1-5-GCAAATGGCATTCTGACATCC-3) استفاده شد. پرایمیر فوروارد اختصاصی قطعه‌ی ژنی مولد scfv و ریورس سوم، پرایمیر فوروارد اختصاصی قطعه‌ی ژنی مولد scfv و ریورس

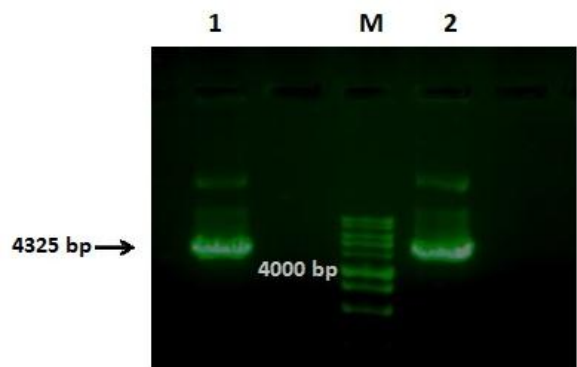
**Tأیید ورود حامل بیانی نوترکیب pPICZαB-anti PCR به ژنوم مخمر با استفاده از روش EpEX- scfv**

در واکنش اول با استفاده از دو پرایمیر ریورس و فوروارد اختصاصی قطعه‌ی ژنی مولد scfv ترانسفورمنت‌های مثبت با حضور قطعه تکثیر شده ۷۵۱ جفت باز تأیید شدند در حالی که هیچ قطعه تکثیریافته‌ای در ستون مربوط به کنترل منفی (ژنوم مخمر و ژنوم مخمر حاوی بخش اینتگره شده pPICZαB) بدون قطعه ژنی وارد شده یا اینسерт) در الکتروفورز قابل مشاهده نبود (شکل ۴ a و b). نتایج حاصل از آنالیز PCR با استفاده از پرایمیر فوروارد اختصاصی قطعه‌ی ژنی مولد scfv و ریورس اختصاصی ژن AOX1 نشان‌دهنده قطعه تکثیر شده ۹۶۸ جفت بازی در ترانسفورمنت‌ها است. در حالی که هیچ قطعه تکثیریافته‌ای در ستون مربوط به کنترل منفی (ژنوم مخمر و ژنوم مخمر حاوی بخش اینتگره شده pPICZαB بدون قطعه ژنی وارد شده) در الکتروفورز قابل مشاهده نبود. نتیجه حاصل از PCR با این جفت پرایمیر نشان‌دهنده حضور ژن مورد نظر به صورت دست‌خورده روی ژنوم مخمر است (شکل ۴ c و d). همچنین واکنش AOX1 با استفاده از دو پرایمیر ریورس و فوروارد اختصاصی ژن AOX1 منجر به تکثیر قطعات با اندازه‌های ۲۲۰۰ و ۱۳۲۱ جفت باز شد. از آنجائی که GS115 یک میزبان+ است تکثیر ژنوم با استفاده از این جفت پرایمیر منجر به تکثیر قطعه‌ی ۲۲۰۰ جفت بازی خواهد شد. همچنین زمانی که ژنوم اینتگره شده با پلاسمید pPICZαB به عنوان الگو در واکنش PCR به کار می‌رود، باندهای ۵۹۲ و ۵۹۲ جفت باز به دست می‌آید که دلیل آن این است که فاصله این دو جایگاه اتصال پرایمیر روی پلاسمیدی که اینتگره شده است ۵۹۲ نوکلئوتید است و در صورتی که قطعه ژنی وارد شده هم وارد این بخش شده باشد باندهای حاصله ۲۲۰۰ و اندازه مجموع قطعه ژنی وارد شده و ۵۹۲ که در اینجا ۱۳۲۱ جفت باز است بر روی ژل الکتروفورز مشاهده می‌شود (شکل ۴ e و f). در تمام واکنش‌ها از سویه‌ی GS115 ترانسفورم شده با پلاسمید pPICZαB همچنین سویه‌ی GS115 ترانسفورم نشده به عنوان کنترل منفی استفاده شد. علاوه بر آن پلاسمید pPICZαB همراه با قطعه ژنی وارد شده (pPICZαB-anti EpEX- scfv) به عنوان کنترل مثبت استفاده شد.

ژنی از لحاظ ورود ژن، جهت صحت ورود ژن و عدم وجود جهش در توالی ژن بود.

**ورود سازه نوترکیب pPICZαB-anti EpEX-scfv به مخمر پیکیا پاستوریس با استفاده از روش الکتروپوراسیون**

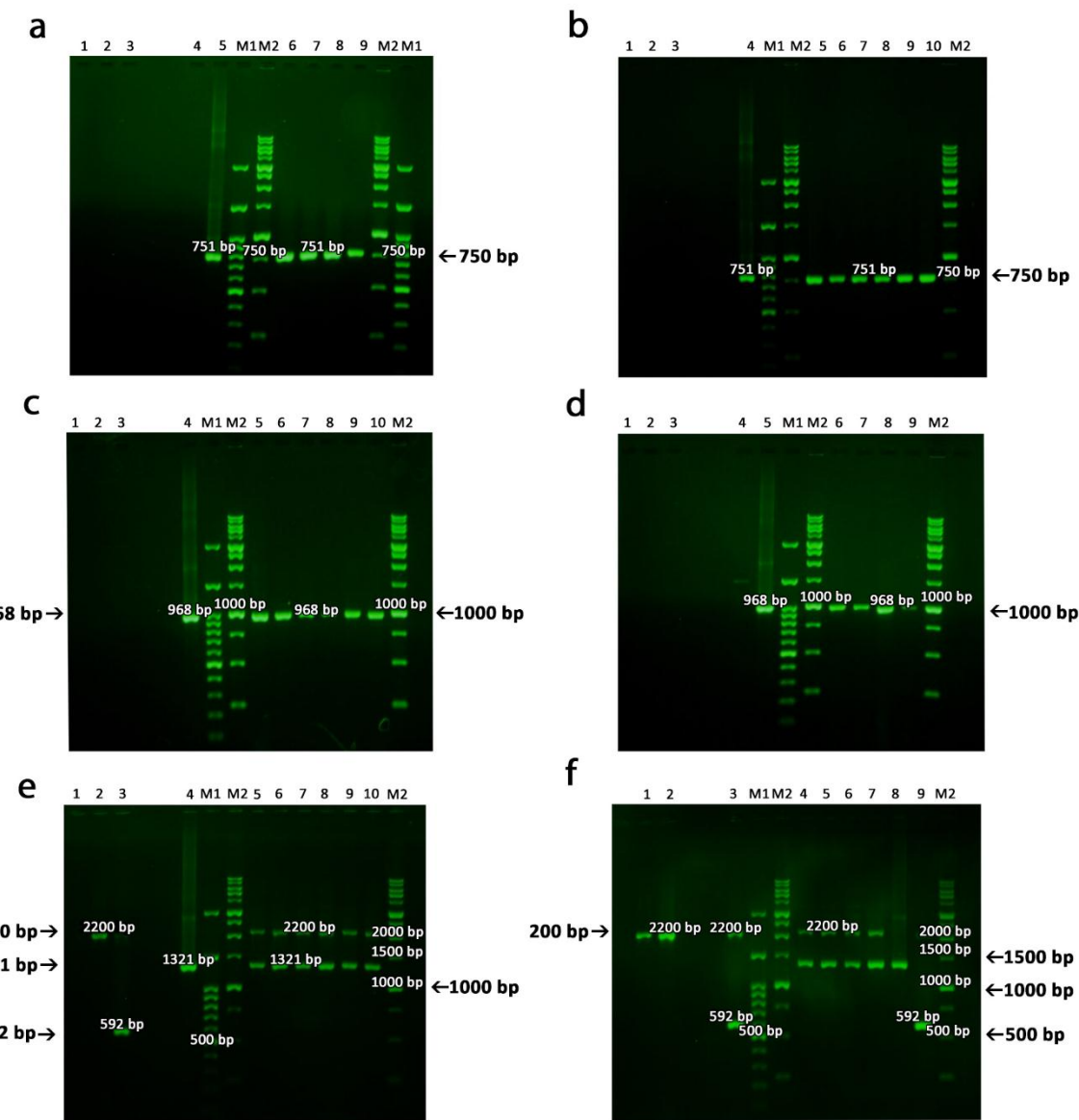
pPICZαB-anti EpEX-scfv محلول و کنور خطی شده توسط آنزیم *SacI* (شکل ۲) و سلول‌ها در معرض پالس الکتریکی قرار گرفت و در نتیجه‌ی تشکیل منافذ موقتی در غشا سلولی، DNA به داخل سلول جذب شد. پس از گذشت ۲-۳ روز از کشت این محلول بر روی محیط کشت YPD آکار حاوی ۲۰۰ µg/ml آنتی‌بیوتیک زئوسین کلوفنی‌های حاصل مشاهده شد (شکل ۳).



شکل ۲- هضم سازه نوترکیب pPICZαB-anti EpEX- scfv با آنزیم *SacI* در این شکل ستون ۱ و ۲ نشانگر نمونه pPICZαB-anti EpEX- scfv خطی شده توسط آنزیم *SacI* با اندازه ۴۳۲۵ جفت باز و ستون M لدر ۱ کیلو جفت باز می‌باشد.



شکل ۳- ورود سازه نوترکیب pPICZαB-anti EpEX- scfv به مخمر پیکیا پاستوریس با استفاده از روش الکتروپوراسیون. محلول DNA و سلول‌ها در معرض پالس الکتریکی قرار گرفت و در نتیجه‌ی تشکیل منافذ موقتی در غشا سلولی، DNA به داخل سلول جذب شد. پس از گذشت ۲-۳ روز از کشت این محلول بر روی محیط کشت YPDS آکار حاوی ۲۰۰ µg/ml آنتی‌بیوتیک زئوسین کلوفنی‌های حاصل مشاهده شد.



شکل ۴- تأیید ورود حامل بیانی نوترکیب pPICZαB-anti EpEX- scfv با استفاده از روش PCR. واکنش PCR با استفاده از دو پرایمر (a) ریورس و فوروارد اختصاصی قطعه ژنی مولد scfv منجر به تکثیر قطعه با اندازه‌ی ۷۵۱ شد. ستون ۲ ژنوم مخمر و ستون ۳ و ۴ ژنوم مخمر به همراه pPICZαB (کنترل منفی)، ستون ۵ و کتور حاوی قطعه ژنی وارد شده (ستون ۹-۷) شد. ستون ۲ ژنوم مخمر و ستون ۳ ژنوم مخمر به همراه pPICZαB (کنترل منفی)، ستون ۴ و کتور حاوی قطعه ژنی وارد شده (ستون ۸-۶) شد. ستون ۲ ژنوم مخمر و ستون ۳ ژنوم مخمر به همراه pPICZαB-anti EpEX- scfv (کنترل مثبت) می‌باشدند. (b) ریورس و فوروارد اختصاصی قطعه ژنی مولد منجر به تکثیر قطعه با اندازه‌ی ۷۵۰ شد. ستون ۴ و کتور حاوی قطعه ژنی وارد شده (ستون ۹-۷) شد. ستون ۲ ژنوم مخمر و ستون ۳ ژنوم مخمر به همراه pPICZαB-anti EpEX- scfv (کنترل مثبت) می‌باشدند. (c) پرایمر فوروارد اختصاصی قطعه ژنی مولد scfv و ریورس اختصاصی ژن AOX1 منجر به تکثیر قطعه با اندازه‌ی ۹۶۸ شد. ستون ۲ ژنوم مخمر و ستون ۳ ژنوم مخمر به همراه pPICZαB (کنترل منفی)، ستون ۴ و کتور حاوی قطعه ژنی وارد شده (ستون ۹-۷) شد. ستون ۲ ژنوم مخمر و ستون ۳ ژنوم مخمر به همراه pPICZαB-anti EpEX- scfv (کنترل مثبت) می‌باشدند. (d) پرایمر فوروارد اختصاصی قطعه ژنی مولد AOX1 منجر به تکثیر قطعه با اندازه‌ی ۹۶۸ شد. ستون ۲ ژنوم مخمر و ستون ۳ ژنوم مخمر به همراه pPICZαB (کنترل منفی)، ستون ۴ و کتور حاوی قطعه ژنی وارد شده (ستون ۸-۶) شد. ستون ۲ ژنوم مخمر و ستون ۳ ژنوم مخمر به همراه pPICZαB-anti EpEX- scfv (کنترل مثبت) می‌باشدند. (e) ریورس و فوروارد اختصاصی ژن AOX1 منجر به تکثیر قطعات با اندازه‌های ۲۲۰۰ و ۱۳۲۱ شد. ستون ۲ ژنوم مخمر و ستون ۳ ژنوم مخمر به همراه pPICZαB (کنترل منفی)، ستون ۴ و کتور حاوی قطعه ژنی وارد شده (ستون ۹-۷) شد. ستون ۲ ژنوم مخمر و ستون ۳ ژنوم مخمر به همراه pPICZαB-anti EpEX- scfv (کنترل مثبت) می‌باشدند. (f) ریورس و فوروارد اختصاصی ژن AOX1 منجر به تکثیر قطعات با اندازه‌های ۲۲۰۰ و ۱۳۲۱ شد. ستون ۲ ژنوم مخمر و ستون ۳ ژنوم مخمر به همراه pPICZαB (کنترل منفی)، ستون ۴ و کتور حاوی قطعه ژنی وارد شده (ستون ۹-۷) شد. ستون ۲ ژنوم مخمر و ستون ۳ ژنوم مخمر به همراه pPICZαB-anti EpEX- scfv (کنترل مثبت) می‌باشدند. ستون ۱ M شامل لدر ۱۰۰ و ستون ۲ M لدر ۱ کیلو جفت باز می‌باشدند.

قطعات آنتی‌بادی به میزان بالا در اسریشیاکلی تولید شده‌اند، ولی گزارشاتی مبنی بر عدم توانایی این سیستم در بیان و تولید scfv‌های مشخصی نیز منتشر شده است. مقاله‌ای که در سال ۱۹۹۵ منتشر شد، نشان داد که ویژگی‌های وابسته به توالی

## بحث و نتیجه‌گیری

پیش‌رفت در طراحی سیستم‌های بیانی کارآمدتر برای تولید مقادیر بالای قطعات نوترکیب آنتی‌بادی با پتانسیل درمانی مناسب مقوله‌ای چالش‌برانگیز است [۱۳]. اگرچه تاکنون بسیاری از

زارع و همکاران در سال ۲۰۱۴ موفق شدند با استفاده از وکتور pPICZ $\alpha$  pروتئین scfv علیه CD22 را به میزان ۲۵mg/l به صورت ترشحی در پیکیا بیان کنند [۲۰]. به منظور تأیید ورود ژن به داخل ژنوم خنجر از واکنش زنجیره‌ای پلیمراز با کمک سه جفت پرایم استفاده شد. مطابق با یافته‌های پیشین در صورت به کارگیری جفت پرایم متصل شونده به ژن مولد الكل اکسیداز (AOX) در مورد سویه‌هایی نظری GS115 که mut+ هستند انتظار داریم پس از الکتروفورز، باندهای ۲۰۰ و ۵۹۲ جفت باز در مورد حالت پایه (زمانی که پلاسمید pPICZ $\alpha$ B بدون قطعه ژنی وارد شده ژن مورد نظر) مشاهده شود به دلیل آنکه فاصله دو جایگاه اتصال پرایم فوروارد و ریورس AOX روی پلاسمیدی که اینتگرره شده است ۵۹۲ نوکلئوتید است. در صورت که قطعه ژنی وارد شده هم وارد این بخش شده باشد باندهای حاصله ۲۰۰ و باندی مربوط به مجموع اندازه قطعه ژنی وارد شده و ۵۹۲ خواهد شد. مطابق با انتظار باندهای ۱۳۲۱ و ۲۰۰ جفت باز در مورد ژنوم حاوی پلاسمید همراه با ژن مولد pروتئین scfv مشاهده شد (شکل ۴ e و f). در مطالعه‌ای مشابه به منظور تأیید ورود ژن مولد scfv علیه CD22 بداخل ژنوم پیکیا پاستوریس سویه GS115 از این جفت پرایم استفاده شد [۲۰]. همچنین chan و همکاران در مطالعه انجام گرفته در سال ۲۰۱۸ به منظور X33 تأیید ورود ژن مولد توپوایزومراز انسانی به داخل ژنوم سویه mut+ است از همین جفت پرایم استفاده کردند. نتایج الکتروفورز منتشر شده توسط این گروه حضور دو باند ۲۰۰ و ۲۳۰ جفت باز را تأیید کرد [۲۱]. در مطالعه حاضر همچنین برای اطمینان از کامل بودن ژن مولد scfv اینتگرره شده داخل ژنوم از جفت پرایم اخلاقی ژن استفاده شد و به منظور اطمینان از قرارگیری صحیح قطعه ژنی موردنظر بر روی ژنوم از پرایم فوروارد متصل شونده به ابتدای ژن موردنظر و پرایم ریورس متصل شونده به ژن مولد AOX استفاده شد (شکل ۴ Tsai). و همکاران نیز به منظور بررسی حضور ژن مولد pروتئین دی سولفید ایزوومراز پلاسمیدیوم فالسیپاروم در ژنوم پیکیا پاستوریس الکتروپوریت شده با وکتور pPICZ $\alpha$ A حاوی ژن موردنظر از جفت پرایم اختصاصی متصل شونده به ژن استفاده کردند [۲۲]. عوامل متعددی بر بیان ژن‌های هترولوگ در پیکیا پاستوریس مؤثر هستند از آن جمله می‌توان به ترجیح کدونی، محتوای بازهای ژن موردنظر، محدودیت‌های موجود در سطح رونویسی و ترجمه اشاره کرد. مطالعات متعددی نشان داده‌اند که بهینه‌سازی کدونی بر اساس ترجیح کدونی خنجر به بیان بالا همچنین افزایش فعالیت محصولات ژنی در پیکیا پاستوریس می‌شود [۲۳]. از همین رو در این مطالعه ابتدا ژن مولد بر اساس ترجیح کدونی خنجر بهینه شد. مشابه این مطالعه Liu و همکارانش

آمینواسیدی یک قطعه آنتی‌بادی نظری سایز پروتئین، کارآمدی تاخوردگی، پایداری، محلولیت و مقاومت به پروتئاز همچنین سمیت پروتئین برای میزان بیانی می‌توانند سطح واقعی بیان این پروتئین را تعیین کنند [۱۴]. با توجه به موارد فوق الذکر چنین می‌توان گفت که سیستم ایده‌آل بیانی برای هر scfv باشد به طور جداگانه بررسی شود. مطالعات بسیاری نشان می‌دهند که پیکیا پاستوریس می‌تواند به عنوان میزان بیانی مناسب در بیان این pروتئین در E.coli دارند مطرح باشد. به عنوان مثال Krauss و همکاران نشان دادند که بازده تولید آنتی‌بادی انسانی با قطعات متغیر علیه CD22 در میزان E.coli پایین است (۴۵µg/l) [۱۵]. و این بازده پایین نیاز به مقادیر بالای pروتئین برای کاربردهای درمانی و تشخیصی را تأمین نمی‌کند. در مطالعه‌ای که در سال ۲۰۱۴ انجام گرفت این pروتئین به میزان ۲۵ mg در میزان بیانی پیکیا بیان شد. این قبیل مطالعات نشانگر موفقیت‌آمیز بودن سیستم بیانی پیکیا پاستوریس در بیان تعدادی از pروتئینها می‌باشد [۱۶]. در این مطالعه به منظور افزایش سطح بیانی scfv مشتق شده از کلون ۴ D5MOCB4 علیه EpEX پس از بهینه‌سازی کدونی بر اساس ترجیح کدونی خنجر متیلوتروف پیکیا پاستوریس، ژن مولد این قطعه آنتی‌بادی در وکتور بیانی pPICZ $\alpha$ B همسانه‌سازی شد. سپس وکتور نوترکیب در سویه GS115 پیکیا پاستوریس ترانسفورم شد و کلون‌های نوترکیب بر اساس مقاومت به زئوین جداسازی و تأیید شدند. هر چند scfv مشتق شده از کلون ۴ D5MOCB4 علیه EpEX تاکنون در سویه بیانی اشتباهیکلی بیان شده است. اما بازده تولید این pروتئین به صورت پرپلاسمیک در این میزان بیانی به میزان ۱ mg/۱ گزارش شده است [۱۸]. که بر این اساس تولید ۱۰۰-۱۰۰۰mg آنتی‌بادی scfv برای موارد کاربردی متعدد دشوار خواهد بود. همچنین از آن جهت که این pروتئین در اشتباهیکلی به صورت اجسام انکلوزیونی بیان شده است، نیاز به مرافق دناتوراسیون و شکل دهنده مجدد وجود دارد (بر اساس نتایج منتشر نشده از همین گروه). هدف از این مطالعه ساخت سویه‌ای است که قادر باشد به منظور تأمین مقدار کافی از pروتئین scfv علیه EpEX برای مطالعات بیولوژیکی، این pروتئین را به مقدار بالا، به صورت محلول، فعال، با صرف هزینه پایین و بدون به کارگیری ترکیبات دناتوره‌کننده فراهم کند.

در این مطالعه از وکتور pPICZ $\alpha$ B استفاده شده است. این وکتور دارای توالی سیگنال ترشحی فاکتور آلفاست که تاکنون با موفقیت منجر به بیان pروتئین‌های متعدد به صورت ترشحی در پیکیا پاستوریس شده است. به عنوان مثال رسپتور فاکتور رشد اپیدرمی انسانی - ۲ نوترکیب با کمک وکتور pPICZ $\alpha$  با موفقیت در این میزان به صورت ترشحی بیان شده است [۱۹]. همچنین

یک لوله آزمایش در زمان کوتاه ۱۵ دقیقه با قدرت استخراج بالا قابل انجام است. این روش قابلیت انجام در سویه‌های مختلف مخمری نظری هانسونلا پلی مرفیا، ساکارومایسیس سروپزیه و پیکیا پاستوریس را دارد [۱۲]. در مطالعه حاضر از این روش استفاده شد. مطابق با مطالعه ما، Mala و همکارانش نیز جهت استخراج ژنوم پیکیا پاستوریس حاوی ژن مولد قطعه تکزنگیره‌ای آنتی‌بادی علیه نورفلوکسازین از این روش استفاده کردند [۳۱]. به منظور افزایش سطح بیانی scfv مشتق شده از کلون GS115 D5MOCB4 عليه EpEX در این مطالعه سویه نوترکیب GS115 که حاوی ژن مولد این قطعه‌ی آنتی‌بادی در ژنوم خود می‌باشد ساخته شد و سویه ساخته شده با استفاده از روش PCR و سه جفت پرایر مورد تأیید قرار گرفت. این سویه مهندسی شده را می‌توان در گام بعدی در بیان پروتئین anti-EpEX-scfv به عنوان انتخابی مناسب در زمینه‌ی اینچه درمانی سرطان به کار گرفت.

### تشکر و قدردانی

این طرح با همایت مالی معاونت پژوهشی دانشکده داروسازی دانشگاه علوم پزشکی شهید بهشتی انجام شده است. همچنین کلیه مراحل آزمایشگاهی این پژوهش در آزمایشگاه بیوتکنولوژی دارویی این دانشکده انجام شده است.

### منابع

- [1] Koprowski H, Steplewski Z, Mitchell K, Herlyn M, Herlyn D, Fuhrer P. Colorectal carcinoma antigens detected by hybridoma antibodies. *Somat Cell Genet* 1979; 5: 957-971.
- [2] Litvinov SV, Balzar M, Winter MJ, Bakker HA, Briare-de Bruijn IH, Prins F, et al. Epithelial cell adhesion molecule (Ep-CAM) modulates cell-cell interactions mediated by classic cadherins. *J Cell Biol* 1997; 139: 1337-1348.
- [3] Munz M, Fellinger K, Hofmann T, Schmitt B, Gires O. Glycosylation is crucial for stability of tumour and cancer stem cell antigen EpCAM. *Front Biosci* 2008; 13: 5195-5201.
- [4] Bird RE, Hardman KD, Jacobson JW, Johnson S, Kaufman BM, Lee S-M, et al. Single-chain antigen-binding proteins. *Science* 1988; 242: 423-426.
- [5] Yokota T, Milenic DE, Whitlow M, Schlom J. Rapid tumor penetration of a single-chain Fv and comparison with other immunoglobulin forms. *Cancer Res* 1992; 52: 3402-3408.
- [6] Di Paolo C, Willuda J, Kubetzko S, Lauffer I, Tschudi D, Waibel R, et al. A recombinant immunotoxin derived from a humanized epithelial cell adhesion molecule-specific single-chain antibody fragment has potent and selective antitumor activity. *Clin Cancer Res* 2003; 9: 2837-2848.
- [7] Frenzel A, Hust M, Schirrmann T. Expression of recombinant antibodies. *Front Immunol* 2013; 4: 217.
- [8] Macauley-Patrick S, Fazenda ML, McNeil B, Harvey LM. Heterologous protein production using the *Pichia pastoris* expression system. *Yeast* 2005; 22: 249-270.
- [9] Butler M, Meneses-Acosta A. Recent advances in technology supporting biopharmaceutical production from mammalian cells. *Appl Microbiol Biot* 2012; 96: 885-894.
- [10] Martínez JL, Liu L, Petranovic D, Nielsen J. Pharmaceutical protein production by yeast: towards production of human blood proteins by microbial fermentation. *Curr Opin Biotech* 2012; 23: 965-971.
- [11] Yousefian S, Dehnavi E, Borjian Burojeni M. Secretive expression of bacterial  $\beta$ -xylosidase gene including hexahistidine-tag in *Pichia pastoris*. *Koomesh* 2013; 14: 389-395. (Persian).

با جایگزینی کدونهای نادر با کدونهای ترجیحی پیکیا پاستوریس توائیستند در مقایسه با ژن بهینه نشده به بیان بالاتری از اینترلوکین ۲۵ در این میزان برستند [۲۴]. در سال ۲۰۱۳ ژن مولد اندازینولیناز استخراج شده از آسپرژنیوس نایجر مطابق با ترجیح کدونی پیکیا پاستوریس بهینه شد و توسط He و همکارانش در کنار فرم اولیه در پیکیا بیان شد. نتایج نشان داد که فرم بهینه، پروتئین بیشتر با فعالیت بالاتری (حدود ۴،۱۸ برابر) را نسبت به فرم بهینه نشده ژن تولید می‌کند [۲۵]. شبیه این نتایج توسط Li و همکارانش که فرم اولیه و بهینه شده ژن مولد سیستاتین C انسانی را در مخمر پیکیا پاستوریس بیان کردند مشاهده شد. نتایج مطالعه Li نشان داد که بهینه‌سازی کدونی می‌تواند بیان پروتئین را ۳ تا ۵ برابر افزایش دهد [۲۶]. Hu و همکارانش گزارش کردند که افزایش میزان بیان به واسطه بهینه‌سازی کدونی بیشتر به دلیل تأثیر مثبت بر کارآمدی طویل‌سازی در مرحله ترجمه است تا اثر بر آغاز ترجمه. در مطالعه مذکور، آنالیز نورترن بلاط نشان داد که سطح mRNA هنگام بیان پروتئین نوترکیب بین دو فرم اولیه و بهینه شده ژن یکسان است لذا بیان بالاتر، بیشتر می‌تواند ناشی از تسهیل مراحل پس از رونویسی باشد [۲۷]. این نتایج مطابق با یافته‌های آزمایشگاهی منتشر شده در مورد بیان در مخمر ساکارومیسیس سروپزیه بود. این یافته نشان می‌داد که میزان کدونهای نادر ارتباط مستقیمی با کاهش پایداری mRNA و سرعت طویل‌سازی در مرحله ترجمه دارد [۲۸]. هم‌سو با این نتایج، Ockenhouse و Yadava منجر به افزایش بیان دمین F2 پروتئین EBA-175 در دو میزان اشتباهگذاری و پیکیا پاستوریس می‌شود هر چند پروتئین بیان شده در پیکیا فعالیت بیولوژیکی بالاتری را نشان می‌دهد [۲۹]. یکی از مشکلات موجود در راستای استخراج سریع و کارآمد ژنوم مخمر حذف دیواره سلولی آن است. در روش‌های رایج از تخریب آنژیوی و یا بیدهای شیشه‌ای به منظور تخریب دیواره سلولی استفاده می‌شود. به عنوان مثال در مطالعه‌ای که در سال ۲۰۱۸ توسط Tsygankov و همکارانش انجام شد به منظور بررسی تأثیر بیان پروتئین دی سولفید ایزومراز بر بیان اینترفرنون نوترکیب در پیکیا پاستوریس، جهت استخراج ژنوم از بیدهای شیشه‌ای و دستگاه Smash & Grab استفاده شد [۳۰]. این روش‌ها زمانگیر بوده و از نظر اقتصادی نیز مقرر به صرفه نیستند و به کارگیری بیدهای نیازمند حضور تجهیزاتی در آزمایشگاه است. Looke و همکارانش در سال ۲۰۱۱ پروتکلی را به منظور استخراج سریع و کم‌هزینه محتوای ژنومیک مخمر با استفاده از استات لیتیوم و SDS ارائه دادند. این روش نیازی به استفاده از آنزیم و یا دمای بالا همچنین دستگاه Smash & Grab ندارد و در

- disulfide isomerase affects expression, folding and O-linked glycosylation of a malaria vaccine candidate expressed in *P. pastoris*. *J Biotechnol* 2006; 121: 458-470.
- [23] Qian P, Li X, Tong G, Chen HJVg. High-level expression of the ORF6 gene of porcine reproductive and respiratory syndrome virus (PRRSV) in *Pichia pastoris*. *Virus Genes* 2003; 27: 189-196.
- [24] Liu Y, Wu C, Wang J, Mo W, Yu M. Codon optimization, expression, purification, and functional characterization of recombinant human IL-25 in *Pichia pastoris*. *Appl Microbiol Biotechnol* 2013; 97: 10349-10358.
- [25] He M, Wu D, Wu J, Chen J. Enhanced expression of endoinulinase from *Aspergillus niger* by codon optimization in *Pichia pastoris* and its application in inulooligosaccharide production. *J Ind Microbiol Biotechnol* 2014; 41: 105-114.
- [26] Li Y, Li D, Xu X, Cui M, Zhen H, Wang Q. Effect of codon optimization on expression levels of human cystatin C in *Pichia pastoris*. *Genet Mol Res* 2014; 13: 4990-5000.
- [27] Hu S, Li L, Qiao J, Guo Y, Cheng L, Liu J. Codon optimization, expression, and characterization of an internalizing anti-ErbB2 single-chain antibody in *Pichia pastoris*. *Protein Express Purif* 2006; 47: 249-257.
- [28] Liu X, Wu D, Wu J, Chen J. Optimization of the production of *Aspergillus niger*  $\alpha$ -glucosidase expressed in *Pichia pastoris*. *World J Microb Biotechnol* 2013; 29: 533-540.
- [29] Yadava A, Ockenhouse CF. Effect of codon optimization on expression levels of a functionally folded malaria vaccine candidate in prokaryotic and eukaryotic expression systems. *Infect Immun* 2003; 71: 4961-4969.
- [30] Tsygankov M, Padkina MJ. Influence of PDI Gene Overexpression on the Production of Heterologous Proteins in Yeast *Pichia pastoris*. *Russ J Genet* 2018; 8: 197-205.
- [31] Mala J, Puthong S, Maekawa H, Kaneko Y, Palaga T, Komolpis K, et al. Expression and characterization of functional single-chain variable fragment against norfloxacin in *Pichia pastoris* GS115. *Int Food Res J* 2018; 25: 1726-1732.
- [12] Lõöke M, Kristjuhan K, Kristjuhan A. Extraction of genomic DNA from yeasts for PCR-based applications. *Biotechniques* 2011; 50: 325-328.
- [13] Malpiedi LP, Díaz CA, Nerli BB, Pessoa Jr A. Single-chain antibody fragments: Purification methodologies. *Process Biochem* 2013; 48: 1242-1251.
- [14] Knappik A, Plückthun A. Engineered turns of a recombinant antibody improve its in vivo folding. *Protein Eng Des Sel* 1995; 8: 81-89.
- [15] Krauss J, Arndt MA, Martin AC, Liu H, Rybak SM. Specificity grafting of human antibody frameworks selected from a phage display library: generation of a highly stable humanized anti-CD22 single-chain Fv fragment. *Protein Eng* 2003; 16: 753-759.
- [16] Tanfous NGB, Kallel H, Jarboui MA, Fathallah DM. Expression in *Pichia pastoris* of a recombinant scFv form of MAb 107, an anti human CD11b integrin antibody. *Enzyme Microb Tech* 2006; 38: 636-642.
- [17] Emberson LM, Trivett AJ, Blower PJ, Nicholls PJ. Expression of an anti-CD33 single-chain antibody by *Pichia pastoris*. *J Immunol Methods* 2005; 305: 135-151.
- [18] Willuda J, Honegger A, Waibel R, Schubiger PA, Stahel R, Zangemeister-Wittke U, et al. High thermal stability is essential for tumor targeting of antibody fragments: engineering of a humanized anti-epithelial glycoprotein-2 (epithelial cell adhesion molecule) single-chain Fv fragment. *Cancer Res* 1999; 59: 5758-5767.
- [19] Foroumadi S, Rajabibazl M, Hosseini SH, Rajabi S, Shahidi S, Daraei A, et al. Expression and characterization of recombinant human epidermal growth factor receptor antigen (HER-2) as an indicator of breast cancer in yeast fermented systems. *Koomesh* 2016; 18: 110-116. (Persian).
- [20] Zarei N, Vaziri B, Shokrgozar MA, Mahdian R, Fazel R, Khalaj VJ, et al. High efficient expression of a functional humanized single-chain variable fragment (scFv) antibody against CD22 in *Pichia pastoris*. *Appl Microbiol Biot* 2014; 98: 10023-10039.
- [21] Chan MK, Lim SK, Miswan N, Chew AL, Noordin R, Khoo BY, et al. Expression of stable and active human DNA topoisomerase I in *pichia pastoris*. *Protein Express Purif* 2018; 141: 52-62.
- [22] Tsai CW, Duggan PF, Shimp Jr RL, Miller LH, Narum DL. Overproduction of *Pichia pastoris* or *Plasmodium falciparum* protein

## Construction of recombinant *Pichia pastoris* expressing single-chain antibody fragment against extracellular domain of EpCAM

Fatemeh Mohammadgholizad (Pharm.D Student), Atieh Hashemi (Ph.D)\*

Department of Pharmaceutical Biotechnology, School of Pharmacy, Shahid Beheshti University of Medical Sciences, Tehran, Iran

\* Corresponding author. +98 21-88200067 at\_hashemi@sbmu.ac.ir

Received: 2 Sep 2018; Accepted: 4 Mar 2019

**Introduction:** Epithelial cell adhesion molecule (EpCAM) is highly expressed on epithelial tumors. So, EpCAM is a valuable antigen for targeted therapy. Using monoclonal antibodies (mabs) is an attractive approach for targeted cancer therapy. Importantly, limitations of intact mabs including large size led to the development of antibody fragments such as single chain fragment variable (scfv). *Pichia pastoris* is considered as a suitable host for large-scale production of recombinant proteins because of post-translation modification system and low cost. Here, the *Pichia* expressing a scfv against EpCAM extracellular domain (EpEX) was constructed.

**Materials and Methods:** The codon optimized gene encoding anti-EpEX-scfv protein was cloned in the *XhoI* and *XbaI* sites of the pPICZαB vector. The recombinant plasmid was confirmed by restriction enzyme analysis and sequencing. The constructed plasmid was integrated into GS115 strain by electroporation. Positive clones were evaluated by PCR using three sets of primers.

**Results:** Restriction enzyme analysis utilizing *Hind*III and *Bam*HI (2788, 1537 bp bands), as well as *XhoI*, *XbaI* (3506, 819 bp bands) confirmed construction of recombinant pPICZαB-anti EpEX- scfv. In this way, PCR based screening results of integrants showed two bands (2200 and 1321 bp), when AOX1 primer set was used as well as one band (968 bp) when the 3' insert-specific primer paired with 5' AOX1 primer. There was one band (751 bp) in PCR result of confirmed integrants when insert-specific primer set was utilized.

**Conclusion:** These findings imply that the engineered strain was constructed. The anti-EpEX-scfv protein can be used as a potential candidate in cancer immunotherapy.

**Keywords:** *Pichia pastoris*, Anti-EpEX-scfv, Monoclonal Antibodies, EpCAM, Cancer Immunotherapy.